

신축공동주택의 라돈농도 특성에 관한 연구

A study on the Characteristics of Radon Concentration
in Newly-Constructed Apartment Houses

○ 박진철*, 이상형**, 이연구***

ABSTRACT

The study aims to investigate the concentration of radon - a gas form of radioactive substance emitted from soil, cement, concrete, etc, and may cause cancer to building occupants - in newly-constructed apartment buildings. Both the field measurement and the laboratory experiment were conducted.

The measurement from 14 new houses indicates that a RC house produces the most radon emission(4.75 pCi/l max.), followed by a PC house and a wood-structured model house. The laboratory experiment reveals that, among the various building materials, a Gypsum board partition has the highest radon concentration of 68.1 pCi/l, followed by a RC wall of 34.0 pCi/l. A PC wall shows, as in the field measurement, negligible radon concentration.

1. 서론

1-1. 연구의 목적

최근 주택 건설부문에서 실내공기환경은 그동안의 에너지 절약설계 및 시공에 따른 건물의 기밀화와 단열강화에 따라 날로 악화되어 가고 있다. 또한, 공동주택의 대량공급은 건축활동의 변화를 초래하게 되어 각종의 기능을 구비한 세로운 재료의 등장을 촉진시켜, 재료 그 자체의 성질 뿐만 아니라, 실내공기환경과의 상호작용을 검토하지 않으면 안되었다.

특히, 신축공동주택의 경우 사용되는 재료의 다양화에 따라 각종 건축자재로부터 새로운 오염물질의 배출은, 날로 정도가 심각해져 입주자들의 건강을 위협하고 있는 실정이다.

따라서, 본 연구에서는 최근 시공 후, 입주 유예기간을 갖는 신축공동주택에서 발생되는 오염물질 중 특히, 흙, 시멘트, 콘크리트 등과 같은 건축자재에서

발생되는 라돈가스를 대상으로, 실측조사와 실험실 측정을 실시함으로써, 신축공동주택의 실내공기환경의 향상을 위한 기초적 자료를 제시하고자 한다.

1-2. 연구의 내용 및 방법

본 연구에서 수행한 연구의 내용 및 방법은 다음과 같다.

1) 라돈의 특성 및 기준치 조사

국내외의 각종 참고문헌 및 연구자료를 정리하여 실내공기환경의 오염물질 중 특히, 라돈의 성질 및 특성을 조사하고, 발생원 및 인체에 미치는 영향을 고찰하였으며, 최근 미국 등을 비롯한 선진 외국에서의 연구활동 및 기준치를 분석하였다.

2) 신축공동주택에서의 라돈 농도분포 조사

최근 시공 후, 입주 유예기간을 갖는 신축공동주택을 대상으로 라돈의 농도분포를 조사하였다. 측정은 '94년 2월 3일부터 '94년 7월 25일 까지 서울 및 신도시지역을 포함하여 전국 6개 지역(서울, 경기 분당, 평촌 및 강화, 인천, 경북 영주와 안동, 경남 울

* 정희원, 경민전문대 건축설비과 전임강사

** 중앙대학교 건축공학과 대학원 석사과정

*** 정희원, 중앙대학교 건축학과 교수

산, 제주)에 소재한 신축공동주택 14개소를 선정하여 실시하였다.

3) 실험실 측정

신축공동주택의 건축구조재인 콘크리트 등으로부터 발생되는 라돈의 단위체적당(m^3) 방사량을 파악하기 위하여 실험실 측정을 하였다. 실험실 측정은 크기 $1.0m \times 1.0m \times 1.0m(1.0m^3)$ 의 실험모델내에 건축구조재인 R.C., P.C 및 Gypsum-board 등의 실험체를 제작설치한 후, 밀폐된 실험실에서의 라돈농도의 방사량을 측정하였다.

2. 라돈의 특성 및 기준치

2-1. 라돈(Radon)의 특성

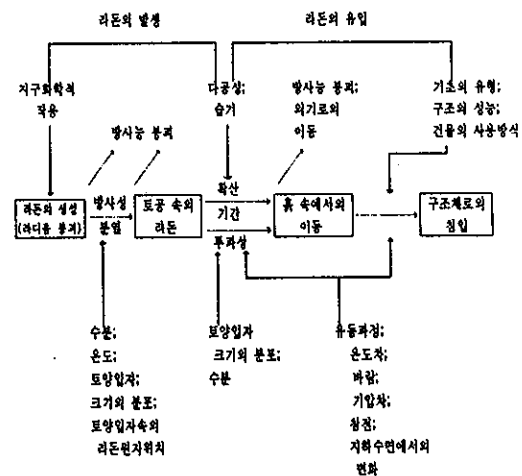
라돈은 지구상에서 발견된 약 70여가지의 자연 방사능 물질이 붕괴계열서 생성되는 물질로 Alpha입자를 방출하여 라듐(Radium : Ra-226)의 낭핵종(Radon daughter)을 생성하는데, 이 낭핵종은 기체가 아닌 미세한 입자로 이것이 폐에 흡입되면 폐포나 기관지에 부착해 Alpha선을 방출하여 폐암의 원인이 되고 있다.

미국 환경청(EPA)의 조사에 따르면 국내 가정의 약 8%(8백만 가구)가 라돈농도 기준치인 4pCi/liter (주거건물인 경우)를 초과하는 것으로 나타나, 년간 13만 건의 폐암 사망자 중 약 5천~2만명(2~15%)이 주택내의 라돈 농도에 폭로되어 사망한 것으로 추정하고 있다. 라돈의 농도 184pCi/liter 는 하루에 담배 4갑을 피우는 것과 같고, 4pCi/liter 의 농도에서는 비흡연자라도 폐암에 걸릴 확률이 3배 이상 높은 것을 나타낸으로써, 이는 라돈농도가 정상상태와 비교하여 얼마나 위험한지를 잘 나타내 주고 있다.

<Table 2-1>은 라돈의 주요오염원과 인체에 미치는 영향을 나타내고 있다.

<Table 2-1> 라돈의 주요발생원 및 인체영향.

라돈의 성질 및 특성	라돈의 주요 발생원	인체 영향
-가장 흡입하기 쉬운 기체성 방사성 물질	-흙, 시멘트, 콘크리트, 대리석, 모래, 진흙, 벽돌 등의 건축자재	-흡입시 폐의 폐포나 기관지에 부착되어 폐암을 발생
-무색무취	-토양가스 및 천연가스	
-공기보다 9배 무겁다	-라듐이 풍부한 토양과 암반지역의 지하수	



(Fig. 2-1) Radon의 생성과 토양으로의 이동 및 건물내의 유입 개요도

2-2. 라돈의 기준치

라돈량의 기준은 WL(Working Level)로서 나타내는데, 이는 우라늄 광산에서 광부들의 건강상태를 연구하면서 라돈이 인체에 미치는 위해성에 의해 만들어진 것으로 1WL은 100 pCi/liter 를 나타낸다. 이 때, Ci(=Currie)는 방사성물질의 양을 나타내는 것으로 1g 의 라듐과 평형을 이루고 있는 라돈의 양을 뜻하며, 1 Currie는 어떤 방사성핵종이 1초에 3.7×10^{10} 만큼의 봉괴를 할 때의 단위를 나타낸다($1\text{ Ci} = 3.7 \times 10^{10}\text{Bq(Becquerel)}$, $1\text{ pCi} = 0.037\text{ Bq}$, $1\text{ pCi/liter} = 37\text{ Bq/m}^3$).

현재까지 라돈의 발생농도를 국가차원에서 법적으로 규제하고 있는 나라는 스웨덴이며, 미국, 영국 등을 비롯한 선진 외국에서는 공중위생과 보건위생을 보호하기 위한 기준을 설정하여 사용하고 있다.

그러나, 우리나라에서는 라돈발생지역인 원자력시설에서의 작업환경 허용농도만 제시되어 있을 뿐, 주거환경에 대한 기준치의 설정은 전혀 되어 있지 않은 상태이며, 최근에 일부 지하철 역사 및 지하 가정내 라돈농도를 측정한 결과가 있을 뿐이다 <Table 2-2>.

<Table 2-2> 라돈 기준치

환경기준(pCi/liter)	
외국	국내
스웨덴	신축주택 1.9 pCi/L, 개축주택 5.4 pCi/L, 기준주택 10.8 pCi/L,
	환경청(EPA) 4.0 pCi/L, ASHRAE 1.0 pCi/L,
	영국 신축주택 3.0 pCi/L, 기준주택 22.0 pCi/L,
미국을 포함한 주택 등 건물: 1 pCi/L, 한국, 영국 등의 주택 라돈농도 조사자료	지하실: 2~4 pCi/L, 음료수: 10~100 pCi/L, 지하수: 100~10,000 pCi/L 이하.
-자연방사선에 대한 허용농도: 30pCi/L	

3. 신축공동주택에서의 라돈 농도 실측

3-1. 측정 개요

본 연구에서는 최근 시공후 입주하기 직전의 신축 공동주택을 대상으로 공기환경을 측정하였는데, 그 측정시기는 '94년 2월 3일부터 '94년 7월 25일까지 실시하였고, 측정장소와 그 대상은 우리나라의 6개 지역(서울, 인천, 경기, 경북, 경남, 제주 등)에 소재한 H사의 신축공동주택 14개소를 선정하여 측정하였다.

한편, Radon Gas의 농도측정은 Radon-222 붕괴기간동안에 alpha 방사를 감지함으로써 Radon가스를 측정하는 Radon Detector를 사용하였다.

그 세부적 내용은 <Table 3-1>과 같다.

<Table 3-1> 신축공동주택 공기환경의 측정 개요

신축 공동주택 구조	벽체	입주일	측정일	평형	측정기기
R.C	서울 홍제	1994-4월초	1994-2/3~4	32명	Radon WL Meter, Thomson & Nielsen Electronics, LTD
	안양 평촌	2.20	2/24~25	32명	
	경기 분당	3월초	3/19~20	48명	
	서울 중계	5.10	5/7~8	36명	
	경북 영주	5.15	5/24~25	30명	
	경북 안동	6월초	5/25~26	30명	
	경남 울산	6월초	5/26~27	32명	
	인천 옥련	6.30	7/12~13	32명	
	강화 갑곶	6.30	7/13~14	32명	
	제주 서호	5월 말	7/24~25	30명	
P.C	경기 분당	7월 말	7/20~21	8명	
	서울 역삼	'93 9	2/22~23	49명	
	경남 울산	3월 말	5/26~27	30명	
모델	경기 여주	3.31	7/19~20	36명	
	목조				

3-2. 측정 결과 및 고찰

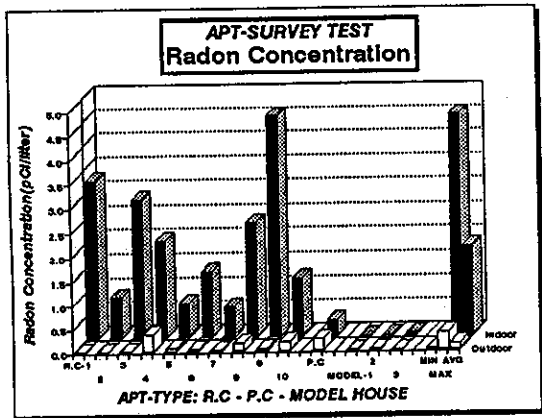
<Table 3-2>. 신축공동주택의 Radon 측정 결과

신축 공동주택	벽체 구조	라돈 농도(pCi/liter)	
		실내	실외
R.C	서울 홍제	3.25	N.E
	안양 평촌	0.84	N.E
	경기 분당	2.84	N.E
	서울 중계	2.0	0.35
	경북 영주	0.7	0.06
	경북 안동	1.36	0.04
	경남 울산	0.63	0.02
	인천 옥련	2.35	0.16
	강화 갑곶	4.57	0.03
	제주 서호	1.21	0.18
P.C	경기 분당	0.33	0.24
	서울 역삼	N.E	N.E
	모델 하우스 (목조)	0.01	0.02
경기 여주	모델 하우스 (목조)	0.04	N.E

*N.E: Not Examined

Type	측정 수	Concentration of Radon(pCi/liter)					
		Indoor		Outdoor		In/Out Ratio	
		Range	Avg	Range	Avg	Min	Max
R.C	10	0.7	4.57	1.98	0.02	0.35	0.12
P.C	1	0.33	0.33	0.33	0.24	0.24	0.24
Model House	3	0.01	0.04	0.03	0.02	0.02	0.02

<Table 3-2>에서 알 수 있듯이 신축공동주택의 라돈 측정결과는 벽체의 구조별로 살펴 볼 때, R.C 벽체가 최소 0.7pCi/liter(영주)에서 최고 4.57pCi/liter(강화)까지 평균 1.98pCi/liter, P.C 벽체는 평균 0.33pCi/liter의 분포를 보였고, 벽체구조가 대부분 목재로 구성된 모델하우스에서는 평균 0.03pCi/liter의 분포를 나타냈다. 또한 실내/실외의 평균 농도비로 살펴 볼 때, R.C 구조가 1.98/0.12 pCi/liter(16.5배), P.C 구조가 0.33/0.24 pCi/liter(1.4 배), 모델하우스 0.03/0.02 pCi/liter(1.5배)로 각각 나타났다(Fig. 3-1).



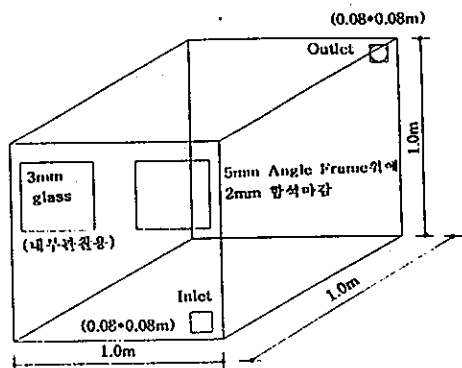
(Fig. 3-1) 신축공동주택의 라돈 분포도

따라서, 신축공동주택에서의 라돈의 방출은 벽체의 구조에 따라, 즉 목재 구조로 된 모델하우스와 Conc.벽체 중 건식공법인 P.C 및 습식공법인 R.C 등 의 세가지 구조체를 비교 측정한 결과 특히, 끌재, 모래 및 시멘트 등을 원료로 현장에서 타설한 R.C 구조체가 가장 높은 라돈의 방사량을 나타냈다. 즉, 신축공동주택 실내의 라돈농도는 최고 4.57pCi/liter, 평균 1.98pCi/liter의 분포로써, 이는 실외의 농도분포 보다 16.5배(1.98/0.12 pCi/liter)나 높은 값을 나타내고 있었다. 이와같은 결과는 외국의 기준치(스웨덴: 1.9 pCi/liter)나 조사자료에 비하여 그 값을 초과하거나, 상용하는 비교적 높은 값을 알 수 있었다.

4. 실험실 측정

4-1. 실험실 측정 개요

실험실 측정은 기존의 아파트 평형 중 일반적 규모인 약 30평(전용면적 25평정도: 천장고2.4M기준 10.0m*10.0m*2.4m=240m³)인 아파트의 실전체 채적을 1/240로 축소한, 즉 1.0m*1.0m*1.0m=1.0m³ 크기 (50mm angle frame에 합석마감)의 밀폐된 실험모델 내에 R.C P.C 및 Gypsum-board 등의 건축구조재를 설치하여 시편 단위체적당(m³) 발산되는 오염농도를 측정하였다(Fig. 4-1)<Table 4-1>.



(Fig. 4-1) 실험모델의 투시도

<Table 4-1> 실험실 측정방법 및 항목

		실험체 제작 및 측정 방법
실험체 종류	R.C	강도:240kg/cm ² 를 거푸집에 현장타설한 후, 21일내지 28일 강도로 양생 크기:0.3m*0.3m*0.1m=0.09m ³
	P.C	강도:240kg/cm ² 를 공장에서 증기양생 시킨 후, 21일내지 28일 강도로 양생 크기:0.3m*0.3m*0.1m=0.09m ³
	석고보드	공장양생시켜 15일-20일 경과한 9mm 두께의 것을 반입하여 재단 크기:1.0m*1.0m*0.009m=0.009m ³
실험 조건	온도	측정기간이 비교적 외기온이 높은 계절인 점을 감안하여 조정범위를 20°C에서 40°C까지로 함
실험 방법		초기조건: 합석과 앵글로 마감된 실험모델내의 실험체 설치하기 전의 조건을 측정 밀폐된 실험실내에서 단위체적당(m ³) 발생되는 농도측정 실내 온도변화에 따른 라돈농도의 발산정도 파악

4-2. 실험실 측정결과

<Table 4-2> 실험실 측정 결과

	온도평균 (°C)	습도평균 (%)	라돈농도 pCi/liter m ³
초기조건	29.1	72.3	0.016
R.C	23.0	53.6	34.0
	32.2	52.3	11.43
	39.7	46.7	6.23
P.C	20.3	45.4	16.4
	31.0	65.0	5.45
	39.6	57.3	2.08
Gypsum Board	22.0	60.8	68.1
	34.3	51.2	27.0
	41.8	36.7	23.4

밀폐된 실험실에서 측정한 콘크리트시편 단위 체적당(m³) 발생되는 Radon Gas 농도는 각각의 시편재료에 대하여 상온에서 R.C 34.0pCi/liter*m³, P.C 16.4pCi/liter*m³, Gypsum Board 68.1pCi/liter*m³로, Gypsum Board가 가장 높게 나타났다. 특히, 농도비율로 살펴보면 Gypsum Board의 Radon 방사율은 R.C의 2배, P.C의 4배가량 높게 나타났다.

한편, 온도변화에 따른 실험에서는 실험실내의 온도를 20°C에서 40°C까지 몇 단계로 조절해가며 측정한 결과, 모두 온도상승에 따라 Radon의 방사량은 점차 줄어들고 있음을 알 수 있었다(Fig 4-2).

5. 결론

본 연구는 최근 시공 후, 입주 유예기간을 갖는 신축공동주택을 대상으로 실내공기환경(IAQ)의 오염물질 중 특히, 흙, 시멘트, 콘크리트 등과 같은 건축자재에서 발생되는 라돈가스를 실측조사 및 실험실측정 등을 실시하여 다음과 같은 결론을 얻었다.

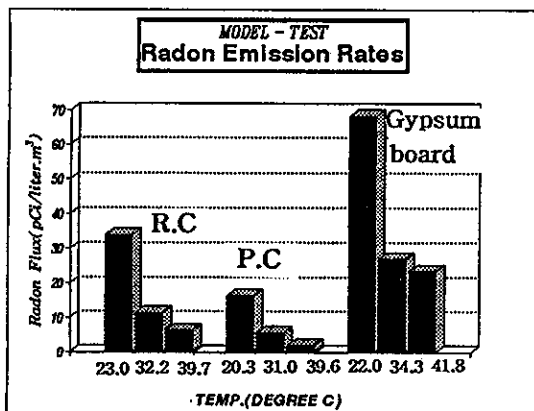
첫째, 신축공동주택에서 라돈농도의 실측결과는 벽체의 구조체 중 특히, 골재, 모래 및 시멘트 등을 원료로 현장에서 타설한 R.C 구조체가 가장 높은 라돈의 방사량을 나타냈다. 즉, 신축공동주택 실내의 라돈농도는 최고 4.57pCi/liter, 평균 1.98pCi/liter의 분포로써, 이는 실외의 농도분포보다 16.5배(1.98/0.12pCi/liter)나 높은 값을 나타내고 있었다.

이와같은 결과는 외국의 기준치(ASHRAE: 1.0pCi/L, 스웨덴: 1.9 pCi/L)나 조사자료에 비하여 그 값을 초과하거나 상용하는 비교적 높은 값으로 이에 대한 대책이 뒤따라야 할 것이다.

둘째, 실험실 측정결과를 요약하면, 라돈의 방사량은 R.C 벽체가 34.0pCi/liter*m³, P.C 벽체 5.45pCi/liter*m³, Gypsum Board 68.1pCi/liter*m³로, Gypsum Board가 Radon의 방사율이 가장 높은 것으로 나타났고(R.C의 2배, P.C의 4배) 또한, Radon의 방사량은 실험실내 온도가 상승함에 따라 점차 줄어들고 있었다.

따라서, 라돈의 높은 방사량이 인체에 암을 유발한다는 점을 감안할 때, 최근 신축공동주택의 미장대체용품으로 각광받고 있는 Gypsum Board 재료의 사용은 신중히 고려되어야 할 것이다.

그러나, 라돈의 방사율이 건물내외의 압력차와 깊은 관련을 가지고 있다는 연구보고를 살펴 볼 때, 본 실험의 조건이 밀폐된 곳이었고, 주변의 압력차와 습도의 변화량을 전반적으로 고려하지 않은 상태임을 감안한다면, 추후 연구에서는 온도뿐만 아니라 습도 및 건물내외의 압력차에 대한 보다 더 정밀하고 종합적인 실험이 뒤따라야 할 것이다.



(Fig 4-2) R.C 벽체, P.C 벽체 및 Gypsum Board의 Radon Gas 발생농도

■ 참고문헌

- 1) 김신도 외, 대기오염 개론, 동화기술, 1993.8
- 2) 김신도, 실내공기환경의 오염과 대책, 한국전력
공사 기술연구원, 건축환경세미나 발표집, 1992. 2
- 3) 김윤신, 우리나라 일부 주택내 라돈농도에 관한
조사 연구, 한국환경위생학회지, Vol.16. No.1.
pp1-7, 1990
- 4) 대한건축학회, “건축설계자료집: 환경계획면”,
1994. 8
- 5) 이인구 외, 건축환경 계획론, 태림문화사, 1994
- 6) Anthony Lhines., [et al.], "Indoor Air: Quality
and Control", pp164-203, PTR Prentice-Hall,
1993
- 7) ASTM STANDARDIZATION NEWS,
Environmental Concerns in Buildings, 1993.12
- 8) David W. Bearg, P.E., Indoor air Quality and
HVAC systems, Lewis publishers, 1993
- 9) Jonathan M. Samet and Jone D. Spengler,
Indoor air pollution: a health perspective, The
Jones Hopkins University Press, 1991
- 10) Edling, C., Kling, H., & Ayelson, O., "Radon
in Homes: A possible cause of lung cancer",
Scand.J.Work Environ. Health, 10, 25-34, 1984